

# AUT202 - Automatique : dynamique et contrôle des systèmes

NICOLAS PETIT

Centre Automatique et Systèmes  
MINES Paris, PSL University  
`nicolas.petit@minesparis.psl.eu`

Mercredi 26 janvier 2022  
Amphi 2

<http://cas.ensmp.fr/~petit/>

- 1 Systèmes dynamiques
- 2 Propriétés des solutions
- 3 Stabilité
- 4 Étude locale par le linéarisé tangent
- 5 Moyennisation

## Équations différentielles du premier ordre

$$\frac{d}{dt}x_1 = v_1(x_1, \dots, x_n, u_1, \dots, u_m, t)$$

$$\frac{d}{dt}x_2 = v_2(x_1, \dots, x_n, u_1, \dots, u_m, t)$$

⋮

$$\frac{d}{dt}x_n = v_n(x_1, \dots, x_n, u_1, \dots, u_m, t)$$

forme d'état,  $x = (x_1, \dots, x_n)^T$ : état,  $u = (u_1, \dots, u_m)^T$ : entrée

$$\frac{d}{dt}x = v(x, u, t)$$

$y = (y_1, \dots, y_q)^T$  sortie

$$y = h(x, u, t)$$

$$u = k(t, x), \quad \text{ou} \quad u = k(t, y)$$

## Système libre (instationnaire ou stationnaire)

$$\frac{d}{dt}x = v(x, t), \quad \frac{d}{dt}x = v(x)$$

## Système linéaire

$$\begin{aligned} \frac{d}{dt}x &= A(t)x + B(t)u \\ y &= C(t)x + D(t)u \end{aligned}$$

$$\begin{aligned} u &= K(t)x \\ \frac{d}{dt}x &= (A(t) + B(t)K(t))x \end{aligned}$$

## Problème de Cauchy

$$\frac{d}{dt}x(t) = v(x(t), t), \quad x(0) = x^0$$

### Propriétés importantes

- 1 existence
- 2 unicité
- 3 dépendance continue par rapport à  $x^0$

## Fonction Lipschitz

Une fonction scalaire  $(x, t) \in \mathbb{R}^n \times \mathbb{R} \rightarrow v(x, t) \in \mathbb{R}^n$  est **Lipschitz** en  $x$  avec la constante  $k > 0$  si

$$\|v(x_1, t) - v(x_2, t)\| \leq k \|x_1 - x_2\|$$

pour tout  $(x_1, x_2, t)$

## Existence et unicité *Théorème de Cauchy-Lipschitz*

Soit  $v(x, t)$  continue et **Lipschitz** en  $x$  dans la région  $R = \{|x - x^0| \leq b, |t| \leq a\}$ . Soit  $M$  la borne supérieure de  $\|v\|$  sur  $R$ . Il existe une unique solution  $x(t)$  au problème de Cauchy définie sur l'intervalle  $|t| \leq \min(a, \frac{b}{M})$

## Existence pour tout temps

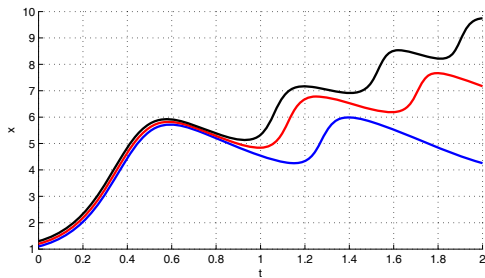
Si pour tout  $x \in \mathbb{R}^n$ ,

$$\|v(x, t)\| \leq M_0(t) + M_1(t)\|x\|$$

avec  $M_0 > 0$ ,  $M_1 > 0$  localement intégrables alors la solution (unique) au problème de Cauchy est définie pour  $t \in ]-\infty, +\infty[$

## Dépendance en la condition initiale

Si  $\frac{\partial v}{\partial x_j}$  continues par rapport à  $x$  et  $t$ , alors la solution du problème de Cauchy est continûment différentiable par rapport à  $x^0$





$\bar{x}$  est point d'équilibre de  $\dot{x} = v(x, t)$ , si  $v(\bar{x}, t) = 0$  (pour tout  $t$ )

## Stabilité

L'équilibre  $\bar{x} \in \mathbb{R}^n$  est **stable** si et seulement si  $\forall \epsilon > 0, \exists \eta > 0$  tel  $\forall x^0, \|x^0 - \bar{x}\| \leq \eta$ , la solution de  $\frac{d}{dt}x = v(x, t)$  issue de  $x^0$  à  $t = 0$  vérifie

$$\|x(t) - \bar{x}\| \leq \epsilon, \quad \forall t \geq 0$$

## Stabilité asymptotique

L'équilibre  $\bar{x} \in \mathbb{R}^n$  est **asymptotiquement stable** s'il est stable et si, de plus,  $\exists \eta > 0$  tel que

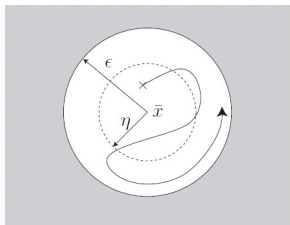
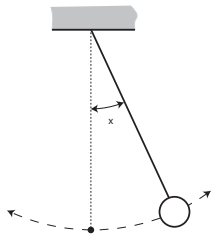
$$\|x^0 - \bar{x}\| \leq \eta, \text{ implique } x(t) \rightarrow \bar{x}$$

lorsque  $t \rightarrow +\infty$

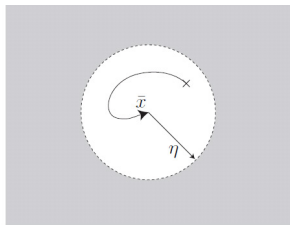
# Exemple

## Pendule amorti ou non amorti

$$\frac{d^2}{dt^2}x + k\frac{d}{dt}x + \frac{g}{R}\sin x = 0$$



$\bar{x}$  stable

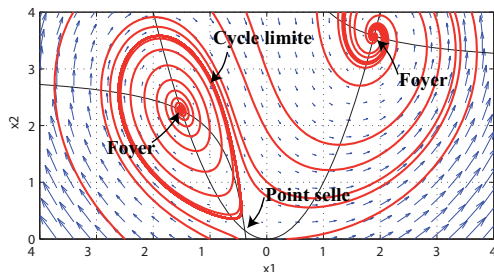


$\bar{x}$  asympt. stable

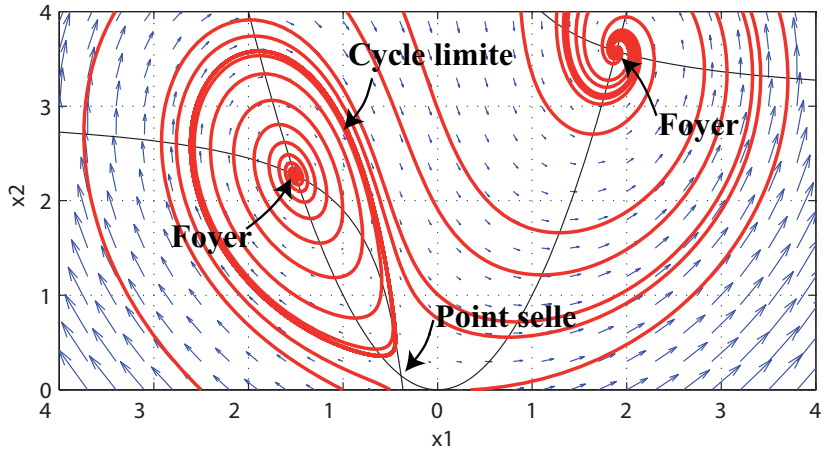
# Portrait de phases d'un système non linéaire

## Exemple de plan de phases

$$\begin{aligned}\frac{d}{dt}x_1 &= -a_1x_1 - x_2x_1 + a_2 \\ \frac{d}{dt}x_2 &= -x_2 + x_1^2\end{aligned}$$



Multiplicité des points d'équilibre, comportement divers autour de ces points



Trajectoires, plan de phase, portrait de phase

Multiplicité des points d'équilibre, comportement divers autour de ces points

# Étude locale par le linéarisé tangent

## Linéarisé tangent

Autour de  $\bar{x}$ , le développement au premier ordre d'un système non linéaire stationnaire  $\frac{d}{dt}x = v(x)$  donne

$$\frac{d}{dt}x = Ax(t) \triangleq \left( \left( \frac{\partial v_i}{\partial x_j} \right)_{1 \leq i, j \leq n} \right) x(t)$$

$A$  matrice  $n \times n$

## Solution du système linéaire

$$x(t) = \exp(tA)x^0$$

$$\exp(tA) = \left[ I + tA + \frac{t^2}{2!}A^2 + \dots + \frac{t^k}{k!}A^k + \dots \right]$$

## Stabilité asymptotique

L'équilibre 0 est asymptotiquement stable pour  $\frac{d}{dt}x = Ax(t)$  si et seulement si toutes les **valeurs propres de A** sont à **partie réelle strictement négative**

Cas diagonalisable

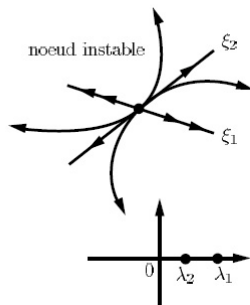
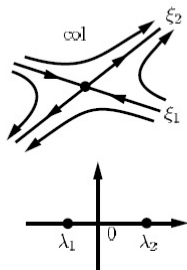
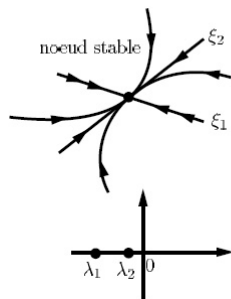
$$A = T^{-1}DT$$

$$A^n = T^{-1}D^nT, \quad \exp(tA) = T^{-1}\exp(tD)T$$

$$\exp(tD) = \begin{pmatrix} \exp(t\lambda_1) & & & 0 \\ & \exp(t\lambda_2) & & \\ & & \ddots & \\ 0 & & & \exp(t\lambda_n) \end{pmatrix}$$

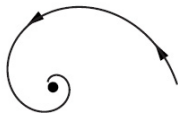
Cas général par réduction de Jordan

# Portraits de phases en dimension 2

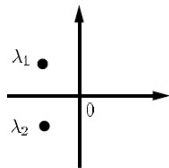




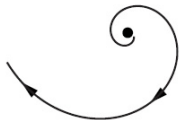
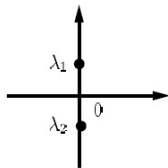
# Portraits de phases en dimension 2



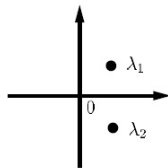
foyer stable



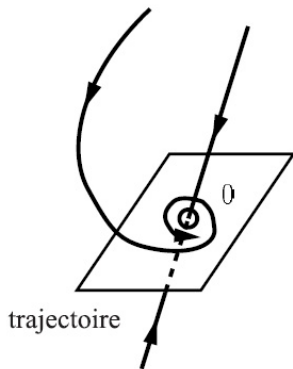
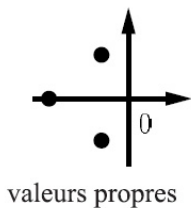
centre



foyer instable



# Portraits de phases en dimension 3



## Table de Routh

Soit

$$P(s) = a_0 + a_1s + \dots + a_ns^n$$

Soit la table de Routh définie à partir de ces deux premières lignes par

$s^n$	$a_n$	$a_{n-2}$	$a_{n-4}$	...
$s^{n-1}$	$a_{n-1}$	$a_{n-3}$	$a_{n-5}$	...
$s^{n-2}$	$b_{n-1}$	$b_{n-3}$	$b_{n-5}$	
$s^{n-3}$	$c_{n-1}$	$c_{n-3}$	$c_{n-5}$	
.	.	.	.	
$s^0$	$g_{n-1}$	.	.	

## Critère de Routh (suite)

$$b_{n-1} = -\frac{1}{a_{n-1}} \begin{vmatrix} a_n & a_{n-2} \\ a_{n-1} & a_{n-3} \end{vmatrix}, \quad b_{n-3} = -\frac{1}{a_{n-1}} \begin{vmatrix} a_n & a_{n-4} \\ a_{n-1} & a_{n-5} \end{vmatrix},$$

$$c_{n-1} = -\frac{1}{b_{n-1}} \begin{vmatrix} a_{n-1} & a_{n-3} \\ b_{n-1} & b_{n-3} \end{vmatrix} \dots$$

Le polynôme  $P(s)$  n'a que des racines à partie réelle strictement négative (polynôme Hurwitz) **si et seulement si** il n'y a pas de changement de signe dans la première colonne de la table de Routh.

## Point d'équilibre hyperbolique

L'équilibre  $\bar{x}$  est **hyperbolique** pour  $\frac{d}{dt}x = v(x)$  si le Jacobien

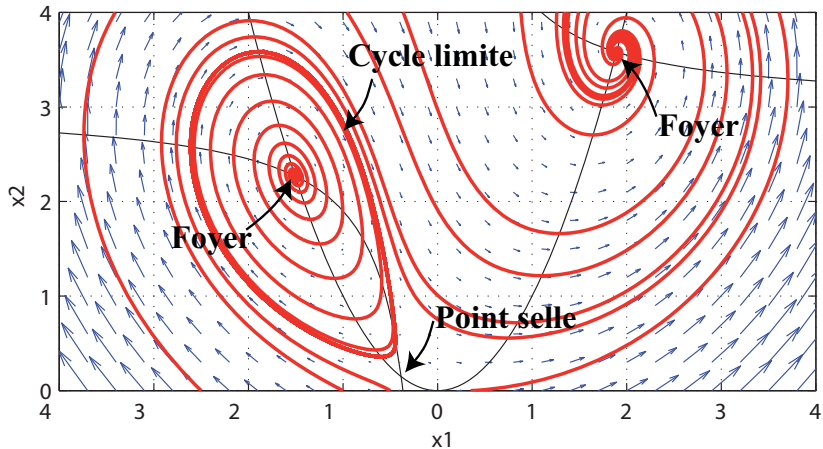
$$\frac{\partial v}{\partial x}(\bar{x}) = \left( \frac{\partial v_i}{\partial x_j} \right)_{1 \leq i, j \leq n}$$

a toutes ses valeurs propres à **partie réelle non nulle**

## Première méthode le Lyapounov

Le point d'équilibre  $\bar{x}$  de  $\frac{d}{dt}x = v(x)$  est localement asymptotiquement stable si les valeurs propres de la matrice **Jacobienne en  $\bar{x}$**  sont toutes à **partie réelle strictement négative**.

Le point d'équilibre  $\bar{x}$  est **instable** si au moins l'une des valeurs propres de la matrice Jacobienne  $\frac{\partial v}{\partial x}(\bar{x})$  est à partie réelle strictement positive



## Théorème (Critère de Bendixon)

Soit

$$\mathbb{R}^2 \ni x \mapsto v(x) \in \mathbb{R}^2$$

une fonction continue et dérivable. On suppose que

$$\operatorname{div}(v)(x) = \frac{\partial v_1}{\partial x_1}(x) + \frac{\partial v_2}{\partial x_2}(x) < 0$$

pour presque tout  $x \in \mathbb{R}^2$ .

Soit  $t \mapsto x(t)$  une solution de  $\frac{d}{dt}x = v(x)$  qui reste bornée pour les temps  $t$  positifs. Alors, sa limite quand  $t$  tend vers  $+\infty$  est un point d'équilibre, i.e., une solution  $\bar{x} \in \mathbb{R}^2$  de  $v(\bar{x}) = 0$ .

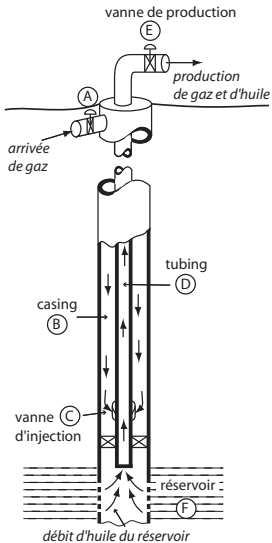


## Théorème (existence d'orbite périodique)

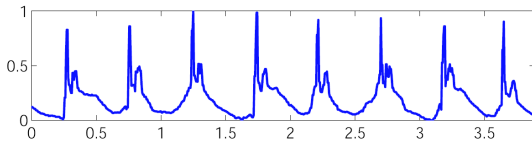
Soit  $\mathbb{R}^2 \ni x = v(x) \in \mathbb{R}^2$  une fonction de classe  $C^1$ . On considère le système dynamique  $\dot{x} = v(x)$ . On suppose qu'il existe dans le plan un ensemble compact  $\Omega$  tel que

- toute trajectoire ayant sa condition initiale dans  $\Omega$  reste dans  $\Omega$  pour les temps  $t > 0$ .
- soit  $\Omega$  ne contient aucun point d'équilibre, soit  $\Omega$  contient un unique point d'équilibre dont toutes les valeurs propres sont à parties réelles strictement positives.

alors  $\Omega$  contient une orbite périodique.



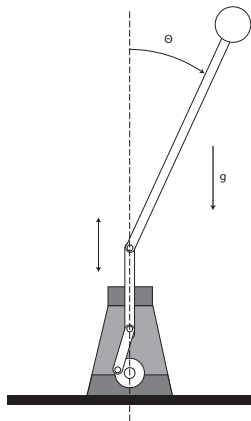
## Oscillations (cycle limite) en tête de production, TOTAL



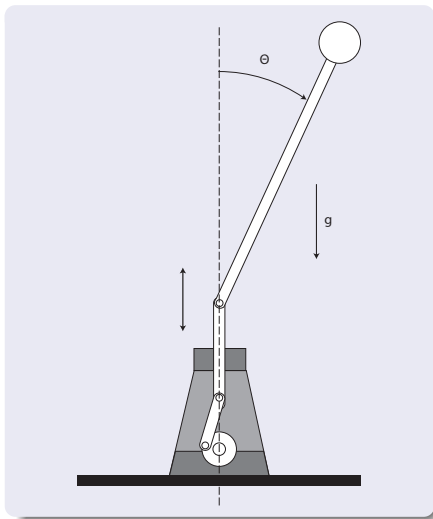
## Boucle slugging, source IFPEN



# Le pendule de Kapitza



P. L. Kapitza, "Dynamic stability of a pendulum when its point of suspension vibrates", Soviet Phys. JETP 21, 588–592 (1951);



## Équations du mouvement

$$\frac{d^2}{dt^2}\theta = \left[ g + d\omega^2 \cos(\omega t) \right] \sin \theta$$

( $m = 1$ ,  $l = 1$ ), équations  
obtenues par méthode  
Lagrangienne.

Le couple apparent découle du  
déplacement vertical  
(d'amplitude  $d$ ) du point  
d'accroche.

Le pendule est instable ( $\omega = 0$ ) en boucle ouverte au voisinage  
de  $\theta = 0$ .

## Théorème de moyennisation

$$\frac{d^2}{dt^2}x = a(t, \epsilon)f(x)$$

avec  $a(t, \epsilon)$ , de période  $0(\epsilon) \ll 1$  **signal périodique oscillant rapidement** est approché par

$$\frac{d^2}{dt^2}x^0 = \langle a \rangle f(x^0) - \langle v^2 \rangle f'(x^0)f(x^0)$$

$$x = x^0 + o(\epsilon)$$

avec  $\langle a \rangle$  **moyenne de  $a$** ,  $v(t) = \int_0^t (a - \langle a \rangle) dt$

$$\begin{cases} \frac{d^2}{dt^2}x = a(t, \epsilon)f(x), & f(x) = \sin(x) \\ \frac{d^2}{dt^2}x^0 = \langle a \rangle f(x^0) - \langle v^2 \rangle f'(x^0)f(x^0) \end{cases}$$

### détails des calculs

$$a(t, \epsilon) = g + d/\epsilon^2 \cos\left(\frac{t}{\epsilon}\right),$$

$$\langle a \rangle = g$$

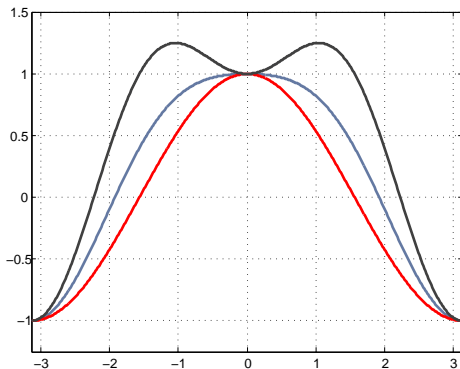
$$v(t) = \int_0^t (g + d/\epsilon^2 \cos\left(\frac{t}{\epsilon}\right) - g) dt = d/\epsilon \sin\left(\frac{t}{\epsilon}\right),$$

$$\langle v^2 \rangle = \frac{d^2}{2\epsilon^2}$$

Le système moyen est donc

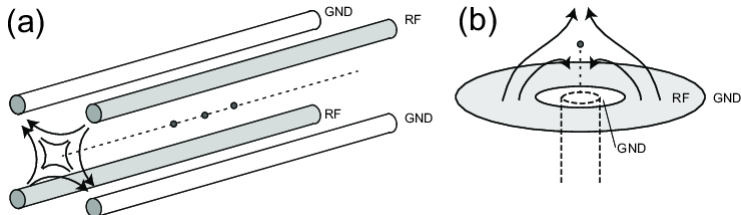
$$\frac{d^2}{dt^2}x^0 = g \sin(x^0) - \frac{d^2}{2\epsilon^2} \cos x^0 \sin x^0$$

$$\frac{d^2}{dt^2} x^0 = -\frac{d}{dx^0} \underbrace{\left( g \cos x^0 + \frac{d^2}{4\epsilon^2} \sin^2 x^0 \right)}_{\text{potentiel effectif}}$$



Le potentiel a un minimum local en 0 (stable asympt.).

# Extension: Paul's trap



Pièges à ions de Paul (champ électrique quadripolaire haute fréquence MHz): stocker des particules chargées pendant une longue durée



- 1 Systèmes dynamiques:  $\frac{d}{dt}x = v(x)$
- 2 Propriétés des solutions: **existence** et **unicité**
- 3 Stabilité et **stabilité asymptotique**
- 4 Étude **locale** par le linéarisé tangent: **Jacobienne** et valeurs propres, point hyperbolique